

## I-123 等式制約法の多目的計画法への応用

群馬高専正員平田添久  
東京都立大学正員伊藤文人

## 1. まえがき

筆者らは等式制約法と称する探索法について検討を行ってきたが、ここでは等式制約法を多目的計画問題での非常解（Pareto最適解）を求めるときの、非線形最適化手法として適しているかどうかについて考察を行った。等式制約法は活性でかつ有利な制約面である等式制約を掃出し計算により選択する点に特色がある。最初に制約式選択の方法を示し、次にこの仕組みを用いて非常解を得る方法を説明する。

## 2. 掃出し計算

双対法ではLagrange乗数法による探索で  $g_m = 0$  となる制約式（ $\lambda \geq 0$  及び  $\lambda \leq 0$  を満足）を選択している。Lagrange関数  $L(\mathbf{x}, \lambda) = f(\mathbf{x}) + \lambda^T g(\mathbf{x})$  が  $\mathbf{x}$  で微分可能なら双対法は(1)式で示される。(1)式で  $\lambda$  を固定すれば双対法は  $\mathbf{x}$  について線形である。(1)式第2行は  $L(\mathbf{x}, \lambda)$  の微分であるが、 $\mathbf{x}$  による探索がないとすべての  $x_j$  について必ず成立することは限らない。(1)式第2行の左半分のみを用いて(2)式とすると、これは線形計画問題とみなせるので、Simplex法に準じた掃出し計算を行う。 $\frac{\partial L}{\partial x_i}$  はslack変数に相当するが、 $\frac{\partial L}{\partial x_i}$ ,  $\frac{\partial f}{\partial x_i}$  には非負条件はないので、掃出し計算での軸要素の選択はSimplex法とは若干異なる。

多目的計画問題を扱うときのSimplex-tableauを図-2に示す。1目的計画の場合には目的関数  $f$  列を削除したものになり、掃出し計算を1目的計画の場合で説明する。1行には目的関数  $f$ 、制約式  $-g_i$ ,  $i=1, \dots, M$  を入れ、 $x_j$  行,  $j=1, \dots, n$  には  $\frac{\partial f}{\partial x_j}$ ,  $-\frac{\partial g_i}{\partial x_j}$  を入れる。制約条件に抵触していると  $-g_i < 0$  であり、これを  $-g_i = 0$  となるように掃出す。これが掃出し列の選択であり、掃出し行の選択は(5)式で行う。掃出しにより  $\lambda^T g = \lambda f$  が増加していくが、掃出し計算が終了した段階では、①掃出した制約式は  $-g_i = 0$  になり、 $-g_i < 0$  は存在しない（活性な制約面）②掃出し行となった  $x_j$  行  $f$  列は  $\lambda_i = 0$  である（有利な制約式）③掃出し行でない  $x_j$  行  $f$  列は  $\frac{\partial L}{\partial x_j}$  になる（探索方向を示す）。

掃出し計算により  $g_i = 0$ ,  $i=1, \dots, m$ , 掫出し行  $x_j$ ,  $j=1, \dots, m$  が選択できたので、これを等式制約  $g_m$ 、制約変数  $x_m$  とし、残りの変数を探索変数  $\Delta x_e$  とする。図-3にtableauの内容を制約変数、探索変数に分けて示すが、 $\Delta x_m$  掫出し上記の掃出し計算である。 $\Delta x_m$  掫出しにより第2表の2行  $\Delta x_e$  列に  $\Delta x_m$  が得られており、

これは  $g_m = 0$  をNewton法で解くときの  $\Delta x_m$  であるので、 $x_m = x_m + \Delta x_m$  を反復することにより  $g_m = 0$  となる活性でかつ有利な制約面が得られる。掃出し計算の反復により(3)式が成立するが、(4)式を成立させるには探索が必要である。探索方向ベクトル  $\Delta x_e$  は第2表の  $\Delta x_e$  行  $\frac{\partial L}{\partial x_e}$  を用いて計算する。 $\Delta x_e = x_e + \Delta x_e$  の反復により(4)式が成立すると、

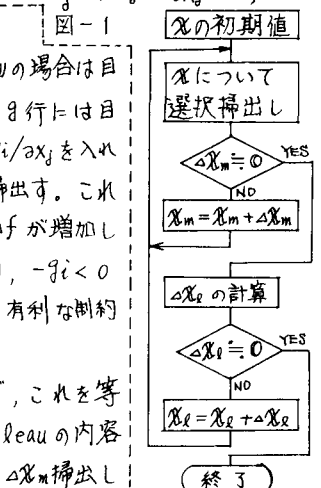
$$\begin{aligned} & \max_{\mathbf{x}} \{ f(\mathbf{x}) + \lambda^T g(\mathbf{x}) \} \\ \text{subj. to } & \frac{\partial L}{\partial x_i} = \frac{\partial f}{\partial x_i} + \lambda^T \frac{\partial g}{\partial x_i} = 0 \\ & \lambda \geq 0 \end{aligned} \quad \cdots (1)$$

$$\begin{aligned} & \max_{\mathbf{x}} \lambda^T g + f \\ \text{subj. to } & -\lambda^T \frac{\partial g}{\partial x_i} + \frac{\partial L}{\partial x_i} = \frac{\partial f}{\partial x_i} \\ & \lambda \geq 0 \end{aligned} \quad \cdots (2)$$

$$\begin{aligned} & \frac{\partial L}{\partial x_m} = \frac{\partial f}{\partial x_m} + \lambda^T \frac{\partial g}{\partial x_m} = 0 \\ & \frac{\partial L}{\partial x_i} = g_i(\mathbf{x}) \leq 0 \end{aligned} \quad \cdots (3)$$

$$\frac{\partial L}{\partial x_i} \lambda = \lambda^T g(\mathbf{x}) = 0, \lambda \geq 0 \quad \cdots (4)$$

$$\lambda_i = \min_j \left\{ \frac{\partial f}{\partial x_j} / -\frac{\partial g_i}{\partial x_j} \geq 0 \right\} \quad \cdots (5)$$



基底	目的関数 $f$	制約式 $g_i(\lambda_i)$	slack変数 $\frac{\partial L}{\partial x_i}$	$\frac{\partial L}{\partial x_j}$		
				$f_p$	$g_1$	$g_m$
$x_j$					0	0
					1	
					1	
					1	

↑  $\Delta x_m$  または  $\frac{\partial L}{\partial x_e}$

これと(3)式を合わせて Kuhn-Tucker 必要条件が成立する。等式制約法で最適解を探索するときの概要フローチャートを図-1 に示す。

$\Delta \mathbf{x}_m$  掃出しが終了したとき  $\Delta \mathbf{x}_m = 0$  になっているが、探索で  $\Delta \mathbf{x}_m$  方向に進むとき  $\Delta \mathbf{x}_m$  掃出しを行うと、制約面に沿うために必要な  $\Delta \mathbf{x}_m$  が第3表の3行  $\Delta \mathbf{x}_m$  列に得られる。 $\mathbf{g}_m$  が非線形であるとこれだけでは  $\mathbf{g}_m = 0$  上に束れないないので、 $\Delta \mathbf{x}_m$  掃出しを反復する。

### 3. 等式制約法で非劣解を求める

多目的計画問題は複数の目的関数を持ち、(6)式で表わされる。制約式は1目的計画と同じであるが、1目的計画のような通常の最適解ではなく、非劣解の集合が得られる。非劣解でなければ他の目的関数を改善せんとする目的関数を改善することができるので、多目的計画との唯一の解は非劣解の中から選ばれるべきである。非劣解を得る方法としてスカラ化手法がある、これには、①最大成分最小化法(7)式 ②加重和最小化法(8)式 ③ $\epsilon$ -制約式法(9)式がある。(7),(8)式では  $f_k$ ,  $k=1, \dots, p$  の重み係数  $w_k$  を、(9)式では  $f_k$  ( $f_k$  以外の目的関数  $f_{k'}, k'=1, \dots, p-1$ ) の最大値制限  $\epsilon_k$  を変化させることにより種々の非劣解が得られる。

(7)～(9)式のスカラ化最適化問題を等式制約法で探索するには図-2 の tableau を用いる。チ列には最小化すべき目的関数を入れ、掃出し行の選択はチ列のみを対象にする。タ列は目的関数としての掃出しは行わなくてよいものであるが、掃出し計算では  $f_k$  列があっても計算量の増加は小さいので、 $f_k$  列も掃出しておくと後に付けての情報が得られる。(7)式では最大成分  $w_k f_k$  をチ列に入れ、探索により  $w_k f_k \geq w_{k'} f_{k'}$ ,  $k=1, \dots, p-1$  が満足できなくなると、新たな最大成分と入れ換える。これは最大成分  $w_k f_k$  についての最小値制限である。(9)式では  $f_k$  も制約式  $g f_k = 0$  になるので、符号を変えた  $-g f_k$ ,  $-\frac{\partial g}{\partial x_k}$  を入れ、制約式として掃出し計算を行なう。(9)式で各  $f_k$  についての最大値制限である  $\bar{f}_k = f_k - \epsilon_k$  が活性であるようにするには、 $g f_k$  列が掃出し列にならない場合は  $-g f_k = 0$  となるよう  $\bar{f}_k$  を小さくして掃出す。(9)式では  $g f_k$  の Lagrange 乗数  $\lambda f_k$  が  $f_k$  と  $f_k$  との trade-off 比(10)式になってしまっており、唯一解の一種である選好最適解を求めるとき利用される。(8)式では重み係数比  $\frac{w_k}{w_{k'}}$  が非劣解での  $\lambda f_k$  になっている。(7)式では  $\lambda f_k$  に相当するものが得られていないが、非劣解に到達したとき  $f_k$  を制約式とみなして  $f_k$  に掃出すことにより  $\lambda f_k$  が求まる。

### 4. まとめ

等式制約法を多目的計画法へ応用することを試みたが、①非劣解を求める(7)～(9)式について同じ掃出し計算で扱える ②各目的関数  $f_k$  についても掃出しを行なうと  $f_k$  についての情報が得られる ③  $g f_k$  を活性とする、 $\lambda f_k$  を求める等が掃出しにより簡単ができる ④等式制約法では Lagrange 乗数を常時計算しているので trade-off 比を得るのト便利である ⑤Kuhn-Tucker 必要条件を満足するよう探索しているので探索終了判定が確実である 等の利点がある。等式制約法は非劣解を求めるときの非線形最適化手法として活用できる。

参考文献 志水清秀：多目的と競争の理論、共出版

図-3 第1表

	チ列	タ列	タ列	タ列	タ列
行	$f$	$-g_m^T$	$-g_m^T$	$0_m^T$	$0_e^T$
$\Delta \mathbf{x}_m$ 行	$\frac{\partial f}{\partial \mathbf{x}_m}$	$\frac{\partial g_m^T}{\partial \mathbf{x}_m}$	$\frac{\partial g_m^T}{\partial \mathbf{x}_m}$	$I_m$	0
$\Delta \mathbf{x}_e$ 行	$\frac{\partial f}{\partial \mathbf{x}_e}$	$\frac{\partial g_m^T}{\partial \mathbf{x}_e}$	$\frac{\partial g_m^T}{\partial \mathbf{x}_e}$	$0^T$	$I_e$

第2表 ↓  $\Delta \mathbf{x}_m$  掃出し

チ列	$0_m^T$	①	$\Delta \mathbf{x}_m^T$	$0_e^T$
$\Delta \mathbf{x}_m$	$I_m$	②	$(\frac{\partial g_m^T}{\partial \mathbf{x}_m})^{-1}$	0
$\frac{\partial L^T}{\partial \mathbf{x}_e}$	$0^T$	③	④	$I_e$

第3表 ↓  $\Delta \mathbf{x}_e$  掃出し

チ列	$0_m^T$	⑤	⑥	$\Delta \mathbf{x}_e^T$
$\Delta \mathbf{x}_m$	$I_m$	②	$(\frac{\partial g_m^T}{\partial \mathbf{x}_m})^{-1}$	0
$\frac{\partial L^T}{\partial \mathbf{x}_e}$	$0^T$	③	④	$I_e$

$$\begin{aligned} ① &= -g_m^T - (-g_m^T) \left( \frac{\partial g_m^T}{\partial \mathbf{x}_m} \right)^{-1} \left( \frac{\partial g_m^T}{\partial \mathbf{x}_e} \right) \\ ② &= \left( \frac{\partial g_m^T}{\partial \mathbf{x}_m} \right)^{-1} \frac{\partial g_m^T}{\partial \mathbf{x}_e} \\ ③ &= -\frac{\partial g_m^T}{\partial \mathbf{x}_e} - \left( \frac{\partial g_m^T}{\partial \mathbf{x}_e} \right) \left( \frac{\partial g_m^T}{\partial \mathbf{x}_m} \right)^{-1} \left( \frac{\partial g_m^T}{\partial \mathbf{x}_m} \right) \\ ④ &= -\left( \frac{\partial g_m^T}{\partial \mathbf{x}_e} \right) \left( \frac{\partial g_m^T}{\partial \mathbf{x}_m} \right)^{-1} \\ ⑤ &= -g_m^T - (-g_m^T) \left( \frac{\partial g_m^T}{\partial \mathbf{x}_m} \right)^{-1} \left( \frac{\partial g_m^T}{\partial \mathbf{x}_m} \right) + \\ &\quad \Delta \mathbf{x}_e^T \left\{ \frac{\partial g_m^T}{\partial \mathbf{x}_e} - \left( \frac{\partial g_m^T}{\partial \mathbf{x}_e} \right) \left( \frac{\partial g_m^T}{\partial \mathbf{x}_m} \right)^{-1} \left( \frac{\partial g_m^T}{\partial \mathbf{x}_m} \right) \right\} \\ ⑥ &= \Delta \mathbf{x}_m^T + \Delta \mathbf{x}_e^T \left( -\frac{\partial g_m^T}{\partial \mathbf{x}_e} \right) \left( \frac{\partial g_m^T}{\partial \mathbf{x}_m} \right)^{-1} \end{aligned}$$

$$\min_{\mathbf{x}} f(\mathbf{x}) \quad \text{subj. to } g(\mathbf{x}) \leq 0 \quad (6)$$

$$\min_{\mathbf{x}} \max_k \{ w_k f_k(\mathbf{x}) \} \quad \text{subj. to } g(\mathbf{x}) \leq 0 \quad (7)$$

$$\min_{\mathbf{x}} w^T f(\mathbf{x}) = \sum_{k=1}^p w_k f_k(\mathbf{x}) \quad \text{subj. to } g(\mathbf{x}) \leq 0 \quad (8)$$

$$\min_{\mathbf{x}} f_p(\mathbf{x}) \quad \text{subj. to } f_p(\mathbf{x}) \leq \bar{f}_p \quad g(\mathbf{x}) \leq 0 \quad (9)$$

$$\lambda f_p = -\frac{\Delta f_p}{\Delta f_k} \quad (10)$$